

طراحی و بهینه‌سازی گرافیکی و تحلیل غیرخطی تقویت‌کننده توان در باند فرکانسی 1 ka

عبدالعلی عبدی پور^۱ - محمد حکاک^۲ - زهرا غنیان^۳

۱- استادیار دانشکده مهندسی برق، دانشگاه صنعتی امیرکبیر

۲- دانشیار دانشکده فنی، دانشگاه تربیت مدرس

۳- فارغ التحصیل کارشناسی ارشد مهندسی برق، دانشگاه صنعتی امیرکبیر

چکیده - در مقاله حاضر روشی گرافیکی برای بهینه‌سازی مدارات غیرخطی جهت نیل به حداکثر توان خروجی، حداکثر راندمان و یا حداقل اترمودلاسیون ارائه می‌گردد. بعد از آن بر اساس مدل غیرخطی ترانزیستور و شبک خط - باز برای رسیدن به حداکثر توان خروجی، یک نموده تقویت‌کننده توان در فرکانس مرکزی 28 GHz گیگا هرتز طراحی و بر مبنای ادمیتانس بهینه باز تعیین شده شبکه تطبیق خروجی آن سنتز می‌گردد. سپس با یکارگیری روش "توازن هارمونیکی" شبکه غیرخطی تقویت‌کننده توان تحلیل و با تغییر نقطه بایاس ترانزیستور و شبکه تطبیق خروجی که منجر به تغییر ادمیتانس باز دیده شده توسط ترانزیستور می‌گردد، سیکل باز داخلی طوری تصحیح می‌گردد که به سیکل بهینه یا به عبارتی به خط - باز بهینه تزدیک و منطبق شود.

کلید واژگان: مدل غیرخطی، PHEMT، بهینه‌سازی گرافیکی، سیکل باز، توازن هارمونیکی، تقویت‌کننده توان.

مدار تطبیق برای رسیدن به حداکثر توان خروجی، حداکثر راندمان و یا حداقل اترمودلاسیون بهینه‌سازی نمود. این روش بر اساس مدل غیرخطی ترانزیستور، مشخصات استاتیکی آن و منحنی‌های سیکل باز استوار است و با آن می‌توان شرایط کار بهینه المان را در رژیم سیگنال بزرگ به صورت گرافیکی با رسم منحنی‌های سیکل باز از دید منبع جریان درین - سورس ترانزیستور، بدست آورد. این روش بهینه‌سازی مختص تقویت‌کننده‌های توان نیست و برای هر مدار غیرخطی نظیر اسیلاتورها و تقسیم‌کننده‌های فرکانس و

۱- مقدمه

بوسیله نرم‌افزارهای شبیه ساز تمى توان عملکرد مدارهای غیرخطی چند ترانزیستوری را بهینه‌سازی نمود. عموماً نرم‌افزارها تنها در مورد مدارها و المانهای خطی قابلیت بهینه‌سازی دارند، از این‌رو در مقاله حاضر برای بهینه‌سازی توان خروجی مدار تقویت‌کننده توانی که در باند 1 ka طراحی شده از روش نیزومندی به نام بهینه سازی گرافیکی استفاده شده است. با استفاده از روش گرافیکی ارائه شده می‌توان در مورد مدارات غیرخطی و سنتز هر یک از المانها و بخش‌های

در این مقاله بخشی از نتایج مربوط به پروژه تحقیقاتی به شماره ۵۳۸۴/۵۰۰ ت بین دانشگاه صنعتی امیرکبیر و مرکز تحقیقات مخابرات ایران ارائه شده است.

در این روابط ، A_3 تا A_0 و β پارامترهای مدل هستند و V_{dso} ولتاژ درین-سورسی است که در آن ضرایب A_3 تا A_0 تعیین می‌شوند.

معادلات مربوط به خازنهای غیرخطی و دیودهای گیت-سورس و گیت-درین در اتصالات شاتکی نیز به صورت زیرندا:

$$C_{gs}, C_{gd}(V) = \begin{cases} \frac{C_{gso}, C_{gdo}}{\left(1 - \frac{V}{V_\Phi}\right)^m} & V < -f_c V_\Phi \\ \frac{C_{gso}, C_{gdo}}{(1 - f_c)^{m+1}} \left(1 - f_c(1+m) + m \frac{V}{V_\Phi}\right) & V > -f_c V_\Phi \end{cases} \quad (2)$$

$$I_{diode} = \begin{cases} I_S \left(e^{\frac{V_{diode}}{nV_T}} - 1 \right) & V_{diode} > -5nV_T \\ -I_S + GV_{diode} & -V_b + 50V_T \leq V_{diode} \leq -5nV_T \\ -I_S \left(e^{\frac{-V_{diode}-V_b}{nV_T}} - 1 \right) + GV_{diode} & V_{diode} < -V_b + 50V_T \end{cases} \quad (3)$$

در رابطه (۲) ، V_Φ پتانسیل گیت شاتکی و m پارامتری وابسته به تابع توزیع ناخالصیهاست و در رابطه (۳)، I_S جریان اشباع معکوس اتصال ، V_b ولتاژ شکست اتصال و G هدایت دیود در ناحیه معکوس است.

مقادیر عناصر مدل ترانزیستور و نیز پارامترهای مدل غیرخطی منبع جریان درین-سورس، خازنهای و دیودهای ترانزیستور مورد استفاده در طرح تقویت-کننده به شرح ذیر است:^[۸]

$$I_{ds} \text{ model parameters : } \begin{cases} A_0 = 0.058410 & A_1 = 0.10341 & A_2 = -0.0092479 & A_3 = -0.048684 \\ \beta = 0.021295 & \gamma = 2.3457 & V_{dso} = 5 \text{ Volt} \end{cases}$$

$$C_{gso} = 0.175070 \text{ pF} \quad C_{gdo} = 0.021008 \text{ pF} \quad V_{bi} = 0.76 \text{ V} \quad I_s = 10^{-14} \text{ A}$$

$$V_{To} = -1.2 \text{ V} \quad V_{Br} = 12 \text{ V} \quad V_T = 26 \text{ mV}$$

$$C_{gs} = 0.175070 \text{ pF} \quad C_{gd} = 0.021008 \text{ pF} \quad C_{ds} = 0.048216 \text{ pF} \quad R_{ds} = 273.7828 \Omega$$

$$R_g = 0.408305 \Omega \quad R_d = 0.600 \Omega \quad R_s = 0.400 \Omega$$

$$L_g = 0.014466 \text{ nH} \quad L_d = 0.033161 \text{ nH} \quad L_s = 0.001015 \text{ nH}$$

نیز مدارهای غیرخطی چند تحریکه مانند میکروها که المان فعال آنها ترانزیستور FET باشد، قابل اعمال است.

۲- مدل غیرخطی HEMT

طراحی موفق و آنالیز سیگنال بزرگ مدارهای مایکروویو، نیاز به مدل غیرخطی دقیق عناصر نیمه هادی و فعال آن دارد. مدلی که با مشخصه DC عنصر منطبق باشد و رفتار بخشهای غیرخطی آن را به خوبی مدل کند و نیز با آزمایشها ساده، پارامترهای آن قابل دستیابی باشد. مدار معادل غیرخطی معمول ترانزیستور HEMT در شکل (۱) آورده شده است. المانهای غیرخطی در این مدار، خازنهای C_{gs} ، C_{gd} ، C_{gdo} و منبع جریان $I_{ds}(VG'S', VD'S')$ دیودهای D_{gd} ، D_{gs} هستند. مدل‌های غیرخطی گوناگونی برای HEMT ارائه شده‌اند که از جمله آنها می‌توان به مدل‌های [۱] Curtice2، [۲] Tajima، [۳] TOM، [۴] Statz و [۵] Curtice3 اشاره کرد. انتخاب یک مدل غیرخطی بستگی به کاربرد ترانزیستور دارد. از آنجا که عملکرد تقویت-کننده توان به رفتار تمام المانهای غیرخطی ذکر شده در مدار معادل وابسته است، برای پرهیز از پیچیدگی، مدل درجه سه کورتیس به دلیل دقت بالا و سادگی و یکنواختی روابط آن بر سایر مدل‌های منبع جریان غیرخطی ترجیح داده می‌شود.

رابطه منبع جریان این مدل در رابطه (۱) آورده شده است.

$$I_{ds} = (A_0 + A_1 V + A_2 V^2 + A_3 V^3) \tanh(\square V_{ds}) \quad (1)$$

$$V = V_{gs} [1 + \beta(V_{dso} - V_{ds})]$$

در هارمونیک اصلی (در مدل خطی و با اغماض از اثر هارمونیکها) تعیین می‌شود.

$$V_{ds}(t) = V_{dso} + V_{ds1}(t) = V_{dso} + V_{ds1} \cos \omega t$$

$$I_{ds}(t) = I_{dso} + I_{ds1}(t) = I_{dso} + I_{ds1} \cos(\omega t + \phi)$$
(4)

با حذف t در روابط فوق، معادله مکان یک بیضی بدست می‌آید که مرکز آن در نقطه بایاس قرار دارد.

$$\frac{I_{ds1}^2(t)}{I_{ds1}^2} + \frac{V_{ds1}^2(t)}{V_{ds1}^2} - 2 \frac{V_{ds1}(t)}{V_{ds1}} \frac{I_{ds1}(t)}{I_{ds1}} \cos \phi = \sin^2 \phi$$
(5)

بر اساس این رابطه توان خروجی و ادمیتانس بار Y_L نیز قابل تعیین است.

$$|Y_L| = \frac{I_{ds1}}{V_{ds1}} = \sqrt{G_L^2 + B_L^2}, \quad < Y_L = \phi = \arctan\left(\frac{B_L}{G_L}\right) + \pi$$
(6)

$$P_{out} = \frac{1}{2} V_{ds1} I_{ds1} \cos \phi$$
(7)

مطابق رابطه (5) سیکل بار در حالت کلی که بار، مقاومت خالص نیست به صورت یک بیضی در می‌آید. در عمل به دلیل آنکه ترانزیستورهای FET بین ترمینال‌های درین و سورس خود دارای المان راکتیو (مهمترین آنها خازن C_{ds}) هستند، سیکل بار المان در سیستم ۵۰ اهم هرگز به صورت یک خط در نمی‌آید. حالات خاص تغییرات سیکل بار داخلی را می‌توان به صورت تابعی از فاز ادمیتانس بار (ϕ) در نظر گرفت.

$\phi = 0$: در این حالت سطح سیکل صفر بوده و به صورت خطی با شیب ۴۵ در می‌آید، در این حالت عنصر جاذب توان است نه مولد توان.

$\phi = \pi$: در این حالت سطح سیکل برابر صفر بوده و به صورت خطی با شیب -۴۵ در می‌آید، در این حالت عنصر قادر است که حداکثر توان را به بار مقاومتی تحویل دهد. در واقع این حالت، حالت بهینه عملکرد ترانزیستور است.

مشخصه DC جریان درین بر حسب ولتاژ درین - سورس و ولتاژ گیت - سورس این ترانزیستور با استفاده از مدل فوق الذکر در شکل‌های (۲) و (۳) رسم شده است.

۳- بهینه‌سازی گرافیکی

تحلیل و بهینه‌سازی هر مدار غیرخطی نظیر اسیلاتورها، تقسیم‌کننده‌های فرکانس و تقویت‌کننده‌های توان ضرورتاً بر اندازه گیری مشخصات استاتیکی ترانزیستور آن به صورت تابعی از ولتاژ‌های فرمان اعمال شده به دهانه‌های آن (یعنی گیت - سورس و درین - سورس) استوار است.

بر اساس مشخصات استاتیکی می‌توان نواحی مختلف کاری ترانزیستور را در رزیم سیگنال بزرگ به صورت تابعی از ولتاژ‌های فرمان بررسی کرد و محدودیتهای ناشی از پدیده‌های بهمنی، هدایت مستقیم دیود و رودی در ناحیه اهمی و Pinch off کانال را تعیین نمود. مطابق شکل (۴) محدوده تغییرات ولتاژ گیت - سورس بین V_p و $-V_p$ خواهد بود. محدوده تغییرات ولتاژ درین - سورس نیز بین $V_{ds\min}$ و $V_{ds\max}$ است که به ترتیب مرز بین ناحیه اشباع را با ناحیه اهمی و ناحیه شکست بهمنی تعیین می‌کنند. $V_{ds\min}$ در واقع همان ولتاژ زانوی اشباع است و $V_{ds\max}$ برابر $V_{Bgd} - V_p$ است که همان ولتاژ شکست اتصال گیت - درین است. روش گرافیکی که در ادامه تشریح می‌شود بر پایه مشخصات استاتیکی و این محدودیتها قرار دارد.

منبع جریان غیرخطی (درین - سورس) ترانزیستور مهمترین عنصر غیرخطی آن است که کار اصلی تقویت را بر عهده دارد. بوسیله منحنی‌های سیکل بار می‌توان نحوه تغییرات جریان آنرا با ولتاژ‌های فرمان بررسی و مشخص نمود. منحنی‌های سیکل بار بر روی مشخصات استاتیکی رسم می‌شوند.

سیکل بار داخلی توسط جریان و ولتاژ منبع جریان ($I_{ds}(t)$

الف) بهینه‌سازی بر مبنای حداکثر توان خروجی

اگر هذلولیهای مختلف مربوط به توان خروجیهای ثابت را به ازای مقادیر مختلف آن بر روی نمودارهای مشخصات استاتیکی رسم کنیم در آن صورت مطابق شکل (۶) آن هذلولی که بر مشخصه‌های استاتیکی به ازای $V_{gs} = V_\phi$ و $V_{gs} = -V_p$ مماس باشد حداکثر توان خروجی را نتیجه می‌دهد. چون این دو هذلولی با توجه به محدودیتهای مشخصات استاتیکی بیشترین فاصله را از هم دارند و در نتیجه امکان حداکثر تغییرات را به ولتاژ جریان خروجی یعنی I_{ds1} و I_{ds1} می‌دهند بنابراین با آن می‌توان، توان خروجی حداکثر را بدست آورد. در این حالت، خطی که نقاط تماس را به هم وصل می‌کند خط بار نامیده می‌شود و شبیه آن را معرف ادمیتانس بار خواهد بود.

$$I_{ds0} = \frac{I_{ds\min} + I_{ds\max}}{2}, \quad V_{ds0} = \frac{V_{ds\min} + V_{ds\max}}{2} \quad (9)$$

$$Y_L = \frac{I_{ds\max} - I_{ds\min}}{V_{ds\max} - V_{ds\min}} \quad (10)$$

ب) بهینه سازی بر مبنای حداکثر بهره

برای یک توان خروجی مشخص، حداکثر کردن بهره مستلزم حداقل کردن توان ورودی و یا به عبارتی دامنه V_{gs1} است. بدین ترتیب هذلولی که حداقل V_{gs1} دینامیکی را نمایش دهد، حداکثر بهره را مشخص می‌کند مطابق شکل (۷) هر چه اختلاف $(\gamma - V_{gs})$ کمتر باشد دامنه V_{gs1} کوچکتر بوده و توان ورودی به همان نسبت کمتر است.

$$Y_L = G_L = \frac{I_{ds}(\gamma) - I_{ds}(\delta)}{V_{ds}(\delta) - V_{ds}(\gamma)} \quad (11)$$

مطابق رابطه (۱۱) شبیه خطی که دو نقطه تماس را به هم وصل می‌کند معرف ادمیتانس بار خواهد بود، هرچه شبیه خط بار کمتر باشد. دامنه تغییرات V_{gs} کوچکتر بوده و در نتیجه بهره توان بیشتر خواهد بود.

ج) بهینه سازی بر مبنای حداقل کردن انترمودلاسیون

در میان اهداف بهینه سازی در رژیم سیگنال بزرگ، بدست

$\phi = \pm \frac{\pi}{2}$: در این حالت سیکل به صورت دایره‌ای با شعاع واحد در می‌آید یعنی سیکل بار در این حالت به حداکثر سطح خود رسیده است و این در صورتی رخ می‌دهد که امپدانس شبکه بار متصل به ترمینال درین - سورس موهومی خالص باشد.

بر اساس روش گرافیکی نخست شبیه کار بهینه برای حداکثر و توان خروجی، حداکثر بهره یا حداقل انترمودلاسیون به روشی که در ادامه تشریح می‌شود، بر اساس مشخصات استاتیکی ترانزیستور تعیین می‌شود و بعد از آن در یک حلقه بهینه سطح سیکل بار صفر و به این شبیه بهینه نزدیک می‌شود. اما برای تعیین شبیه و شرایط کار بهینه المان هذلولیهای توان ثابت که بر روی مشخصات استاتیکی رسم می‌شوند استفاده می‌گردد. هذلولی‌ها در صفحه $-V_{ds1}$ ، مکان هندسی توان خروجی عنصر فعلی به ازای یک مقدار ثابت و مشخص هستند و مطابق شکل (۵) مرکز آنها در نقطه بایاس قرار می‌گیرد.

$$\pm I_{ds1} = \frac{2P_{o1}}{V_{ds1} \cos \phi} \quad \left| \quad = \frac{-2P_{o1}}{V_{ds1}} \right. \quad (8)$$

$$\text{در حالت بهینه } \phi = \pi$$

در مدل خطی، هذلولیها پوش سیکل‌هایی با سطح صفر و برای یک توان خروجی ثابت هستند. از آنجا که از این روش گرافیکی برای بهینه سازی تقویت کننده کلاس A استفاده شده است از این‌رو همه اشکال و روابط ارائه شده نیز مربوط به تقویت کننده کلاس A است که با تغییر نقطه کار (I_{ds0}, V_{ds0}) می‌توان آن را به کلاس‌های دیگر تقویت کننده توان و یا مدارهای غیرخطی دیگر بسط داد. بر اساس مشخصات استاتیکی ترانزیستور و هذلولیهای توان ثابت می‌توان شبیه بهینه سیکل بار و به عبارتی شرایط کار بهینه المان را به منظور رسیدن به حداکثر توان، حداکثر بهره و یا حداقل انترمودلاسیون تعیین نمود.

- ۱- تعیین ادمیتانس بهینه ترانزیستور بر مبنای مشخصات مطلوب نظری حداکثر توان خروجی، بهره و یا حداقل انترمودولاسیون با توجه به بایاس، مشخصات استاتیکی و محدودیتها
- ۲- آنالیز غیرخطی به وسیله روش توازن هارمونیکی
- ۳- بهینه سازی و تصحیح سیکل بار داخلی در دهانه غیرخطی $I_{ds}(t)$ طوریکه سیکل به صورت خطی با شیب بهینه (که در شماره ۱ تعیین شده است) در آید.
- ۴- جبرانسازی خطاهای سیکل بار برای رسیدن به ادمیتانس بار بهینه که با تغییر ادمیتانس بار و نقطه کار امکان پذیر است.

۴- طراحی مدار تقویت کننده توان

تقویت کننده‌های توان از جهاتی با تقویت کننده‌های سیگنال کوچک متفاوت هستند. طراحی و بهینه سازی این تقویت کننده‌ها نیاز به مطالعه شرایط بهینه عملکرد سیگنال بزرگ المانهای فعال آن دارد. در کاربردهای توان پایین که تقویت کننده در رژیم سیگنال کوچک کار می‌کند، از روی مدل خطی ترانزیستور می‌توان مدارهای تطبیق ورودی و خروجی را طراحی و بهینه سازی نمود. ولی در تقویت کننده‌های توان لازم است که تکنیکهای اندازه گیری ویژه‌ای را در نظر گرفت که به ما اجازه مطالعه شرایط بهینه بار و نقطه کار المان فعال را در رژیم سیگنال بزرگ بدهد. این شرایط بهینه براساس اهدافی مانند حداکثر توان، بهره و یا حداقل انترمودولاسیون مطابق قسمت (۳) تعیین می‌گردد. بر این اساس، یک تقویت کننده توان در کلاس A و در فرکانس ۲۸ گیگا هرتز مطابق مراحل زیر طراحی شده است.

الف) انتخاب عنصر اکتیو

ترانزیستوری که برای تقویت کننده توان انتخاب می‌شود باید قابلیت بیشتری را در تحمل جریان زیاد، ولتاژ بزرگ بین گیت و درین، درجه حرارت‌های بالا و قابلیت تلف کردن

آوردن ادمیتانس بار بهینه برای حداقل انترمودولاسیون، در سیستم‌های مخابراتی دارای اهمیت ویژه است. در راستای حداقل کردن انترمودولاسیون مرتبه سوم، استفاده از روش بهینه سازی گرافیکی می‌تواند مفید باشد. مطابق مرجع [۶] اگر دامنه تغییرات ولتاژ خروجی (V_{ds1}) حداقل شود مؤلفه انترمودولاسیون درجه سوم حداقل می‌گردد. در واقع از روی روابط جریان ($I_{ds1}(t)$) با ولتاژ V_{gs} به ازای دو ورودی متفاوت V_{gs} با دامنه یکسان و فرکانس‌های متفاوت می‌توان نشان داد که بهترین رابطه انترمودولاسیون برای یک توان ورودی مشخص بوسیله حداقل کردن V_{ds1} بدست می‌آید. بنابراین هذلولی که نیمه بالایی آن مشخصه $V_\phi = V_{gs} - V_p$ را طوریکه حداقل تغییر در V_{ds} حاصل شود (شکل ۸)، آن هذلولی شرایط بهینه کار را برای حداکثر سوئینگ جریان و حداقل سوئینگ ولتاژ به ازای یک توان خروجی مشخص و در نتیجه شرایط بهینه کار را برای حداقل انترمودولاسیون تعیین می‌کند.

$$Y_L = G_L = \frac{I_{ds}(\alpha) - I_{ds}(\beta)}{V_{ds}(\beta) - V_{ds}(\alpha)} \quad (12)$$

شیب خط بار برابر ادمیتانس بار Y_L خواهد بود. هرچه Y_L بزرگ‌تر باشد سوئینگ V_{ds} کمتر و سوئینگ I_{ds} بیشتر خواهد بود و در نتیجه مقدار انترمودولاسیون کمتر می‌گردد. در نتیجه برای یک توان ورودی ثابت حداکثر کردن توان خروجی و بهره با حداقل کردن انترمودولاسیون ناسازگار است. در این حالت برای رسیدن به این خواسته‌های متضاد باید یک مصالحه‌ای بین ادمیتانس بهینه توان افزوده که مقداری کوچک است و ادمیتانس بهینه انترمودولاسیون که مقداری بزرگ است، صورت گیرد.

بدین ترتیب بر اساس آنچه که تاکنون در مورد سیکل بار، حالات خاص آن و روش بهینه سازی و تعیین شیب بهینه برای عملکرد ترانزیستور گفته شد می‌توان شرایط کار بهینه آن را مطابق مراحل زیر تعیین نمود.

ایزوله‌اند. با توجه به مزایای ساختار متوازن، از ترکیب شاخه درختی آن مطابق شکل^(۹) برای تامین توان خروجی ۳۵ dBm در طرح حاضر استفاده شده است. لازم به یادآوری است که بحث بهینه سازی گرافیکی در این مقاله در مورد تقویت کننده تک طبقه قبل از ترکیب، اعمال شده است که در ادامه مراحل طراحی و بهینه سازی آن ارائه می‌گردد. بهینه سازی ساختار ترکیبی، مبحثی مجزاست که در این مقاله به آن پرداخته نشده است.

ج) انتخاب نقطه بایاس

نقطه بایاس در تقویت کننده‌های توان تعیین کننده کلاس کاری تقویت کننده و در نتیجه مشخصات دینامیکی آن یعنی توان خروجی، بهره، درصد افزایش توان، راندمان، ادمیتانس بار بهینه و ... است. برای گرفتن توان خروجی بیشتر و نیز خواص خطی بهتر و کم کردن اثر هارمونیکها بر روی توان خروجی در فرکانس اصلی، بایاس کلاس A را انتخاب می‌کنیم. در اینصورت هر چند ترانزیستور در ناحیه اشباع منحنی $I_{ds}(V_{ds})$ بایاس می‌شود ولی به دلیل گستردگی بودن محدوده تغییرات ولتاژ و جریان درین - سورس انتظار داریم که اثر هارمونیکها ناچیز باشد.^[۹]

د) طرح مدار تک طبقه

منظور از طرح تقویت کننده توان تعیین امپدانس بهینه می‌بین و بار و سنتز مدارات تطبیق آن است. با معلوم بودن ترانزیستور مدار و نقطه بایاس آن می‌توان مدل غیرخطی ترانزیستور و پارامترهای آن را بدست آورد و از روی آن امپدانسهای بهینه را تعیین نمود. البته تا زمانی که دیده گیست - سورس وارد ناحیه هدایت خود نشده، امپدانس ورودی ترانزیستور چنان‌دان با سطح توان ورودی تغییر نمی‌کند و بنابراین نحوه طراحی مدار تطبیق ورودی برای تقویت کننده‌های توان همانند تقویت کننده‌های سیگنال کوچک است اما برای دریافت حداکثر توان، حداکثر بهره و یا حداقل انترمودولاسانیون، امپدانس بهینه بار در خروجی دیگر امپدانس

گرمای زیاد را داشته باشد. علاوه بر اینها مانند ترانزیستورهای کوچک باید دارای بهره مناسب، راندمان بالا و حتی المقدور خطی باشد. در فرکانس‌های پائین مایکروویو معمولاً از ترانزیستورهای GaAs MESFET به دلیل آنکه چگالی توان بالایی دارند استفاده می‌شود اما در فرکانس‌های بالاتر نظری پاند میلی‌متری از ترانزیستورهای PHEMT^۱ که فرکانس قطع بالاتری دارند، استفاده می‌شود.^[۷]

ترانزیستور انتخابی ما از نوع ترانزیستور Pseudomorphic InGaAs/AlGaAs/GaAs HEMT برای تامین ولتاژ شکست و چگالی جریان بالا طراحی شده است. این نوع ترانزیستورها همچنین بهره و PAE بالایی در پاند میلی‌متری ایجاد می‌کنند.^[۸]

ب) انتخاب توبولوژی

به وسیله یک طبقه تقویت کننده همیشه نمی‌توان بهره و توان لازم را در پهنه‌ای پاند مطلوب تأمین کرد و در این مورد باید از ساختارهای ترکیبی چند طبقه استفاده نمود. در جدول (۱) سه نوع ساختاری که بیش از همه در روشهای ترکیب توان استفاده می‌شوند، مقایسه شده‌اند. با توجه به اینکه سطح کوپلینگ بین طبقات مختلف در طرح شماره (۱) کمتر است از این‌رو از این ساختار بیشتر در فرکانس‌های خیلی بالا استفاده می‌شود. در صورتیکه بهره و راندمان بالاتر و پهنه‌ای پاند بیشتری لازم باشد از طرح شماره (۲) استفاده می‌شود. به دلیل پیچیدگی و نیز کوپلینگ بالا در طبقات مختلف تقویت کننده توان شماره (۳)، کمتر آن را بکار می‌برند. این طرح در فرکانس‌های پائین‌تر مفید واقع می‌شود. استفاده از ساختار متوازن طرح شماره (۲) در کاربردهای پاند وسیع بسیار معمول است. متواتی قرار دادن طبقات متوازن به راحتی امکان پذیر است چون علاوه بر آنکه VSWR دهانه‌های ورودی و خروجی آن پائین است، دو دهانه تقویت کننده متوازن که در یک طرف قرار دارند از هم

زمان در تحلیل عناصر غیرخطی و برتری روش‌های حوزه فرکانس در تحلیل عناصر خطی (به خصوص عناصر گستردۀ استفاده می‌گردد، با تبدیل فوریه و عکس آن می‌توان مؤلفه‌های زمانی و فرکانسی ولتاژ را در دهانه‌های مشترک دو شبکه خطی و غیرخطی به یکدیگر تبدیل کرد. اگر مؤلفه‌های فرکانسی ولتاژ دهانه‌ها معلوم باشد، می‌توان با استفاده از ماتریس ادمیتانس بخش خطی، جریان هر دهانه را بدست آورد و با داشتن مؤلفه‌های زمانی ولتاژ دهانه‌ها و استفاده از مشخصات بخش غیرخطی، جریان دهانه‌ها را در حوزه زمان بدلست آورده. حال باید شکل موج ولتاژ دهانه‌ها را طوری پیدا کرد که جمع جبری جریانهای بخش خطی و غیرخطی در هر دهانه مشترک صفر شود، ایده اصلی این روش نیز همین است.

روش‌های مختلفی برای حل معادله توازن هارمونیکی ارائه شده است که از میان آنها روش نیوتون به دلیل سرعت بالا، سادگی و شبیه زیاد همگرایی بیش از همه بکار می‌رود. البته در روش نیوتون، حدس اولیه ولتاژ در دهانه‌های مشترک خطی و غیرخطی در شبیه همگرایی بسیار مؤثر است. معمولاً برای کنترل بیشتر بر روی پایداری و همگرایی روش نیوتون از ضریب میراکننده در رابطه بازگشتی آن استفاده می‌شود.

۶- نتایج

با تغییر مقدار امپدانس بار، منحنیهای سیکل بار که بر روی مشخصات استاتیکی رسم می‌شوند تغییر شکل می‌دهند. بدین ترتیب با هر بار اجرای برنامه تحلیل مدار به روش توازن هارمونیکی و تغییر مقدار امپدانس بار، امپدانس ورودی ترانزیستور نیز تغییر می‌کند و در هر قدم باید امپدانس منبع را بر اساس امپدانس ورودی جدید انتخاب کرد تا تطبیق در ورودی همچنان برقرار باشد. شبیه سازی مدار بعد از هر بار تغییر امپدانس بار و اصلاحات لازم در ورودی برای تطبیق، در تمام مراحل توسط نرم افزار HPEESOF SeriesIV

بهینه سیگنال کوچک نخواهد بود و مطابق روش ارائه شده در قسمت (۳) تعیین می‌گردد. بر این اساس نخست امپدانس بهینه بار Z_L تعیین می‌شود بعد از آن با معلوم بودن مقدار Z_{in} امپدانس ورودی مشخص می‌شود و با معلوم بودن Z_{out} مقدار امپدانس منبع را برابر Z_{in}^* جهت رسیدن به حداکثر بهره توان قابل حصول تعیین و سنجیده می‌گردد.

طرح مدار در شکل (۱۰) نمایش داده شده است. برای رسیدن به توان خروجی بیشتر، از ساختار سورس مشترک استفاده شده است [۱۱]. برای کاهش اثر نامطلوب مدار بایاس بر مشخصات RF تقویت کننده بهتر است در طراحی، مدار بایاس به عنوان جزئی از مدارهای تطبیق در نظر گرفته شود و بر این اساس بهینه سازی مدار صورت گیرد. برای صدمه ندیدن ترانزیستور هنگام تحریک با سطح زیاد، یک مقاومت به صورت سری در مدار بایاس گذشت قرار گرفته تا در حالت هدایت مستقیم دیود گذشت - سورس به صورت فیدبک عمل کرده و ولتاژ گذشت را پایین بیاورد. RC موجود در مدار بایاس گذشت موجب پایداری بیشتر تقویت کننده و حذف نوسانات مود فرد و فرکانس پایین می‌گردد. در مدار بایاس درین نیز یک RC سری برای حذف نوسانات فرکانس پایین در نظر گرفته شده است.

۵- آنالیز مدار

مفیدترین و قویترین روش برای آنالیز مدارهای غیرخطی قوی یا ضعیف با تحریک متناوب، روش توازن هارمونیکی است و برای تطبیق توان نیز مطابق مراحل بهینه‌سازی سیکل بار، از این روش برای تحلیل غیرخطی تقویت کننده توان و بهینه‌سازی آن استفاده شده است.

• روش توازن هارمونیکی [۹]

در این روش مدار شکل (۱۰) به دو شبکه خطی و غیرخطی مجزا از هم تقسیم می‌شود، بعد از آن از مزیت روش‌های حوزه

صورت گرفته است.

جدول، مقدار راندمان تا حد ۳۶/۵۳ درصد افزایش یافته است. اما با افزایش بیشتر توان ورودی تا ۱۵dBm مطابق شکل (۱۴) مقدار بهره و راندمان افت کرده و سطح هارمونیکها افزایش می‌یابد. با تغییر نقطه بایاس از کلاس A به B مطابق انتظار مقدار بهره توان کاهش پیدا کرده است اما به دلیل کاهش مصرف توان مقدار راندمان چندان تغییر نمی‌کند(شکل (۱۵)).

بدین ترتیب نتایج شبیه سازی، نحوه طراحی و روش بهینه‌سازی تقویت کننده را در راستای دست یابی به شرایط بهینه توان بر مبنای منحنیهای سیکل بار در مقاومت بار ۴۷ اهم تائید می‌کند. نتایج ارائه شده تنها نمونه‌ای از روش بهینه سازی گرافیکی تشریح شده است که در مورد تقویت کننده توان باند Ka برای رسیدن به حداکثر توان خروجی بر روی تقویت کننده تک طبقه قبل از ترکیب طبقات آن، اعمال شده است. از این روش گرافیکی میتوان به صورت مشابه برای بهینه سازی توان، بهره و انترمودولاسیون مدارهای غیرخطی مختلف در هر باند فرکانسی بهره برد.

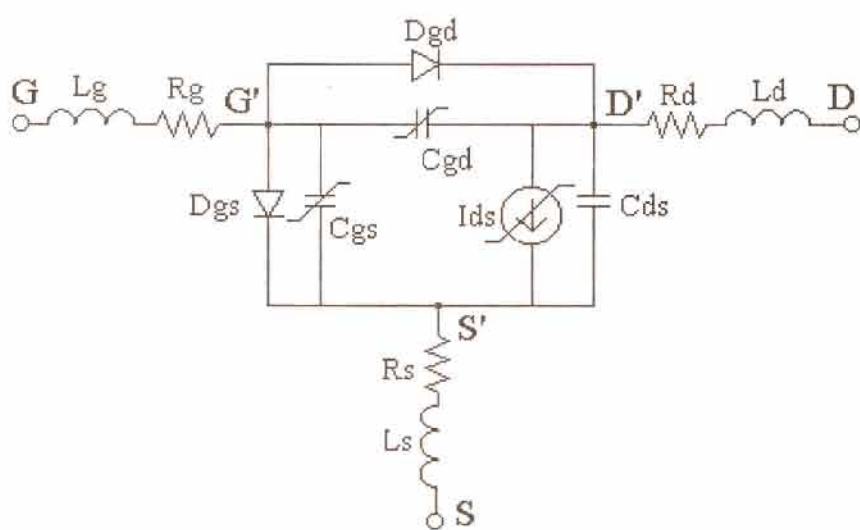
۷- تشکر و قدردانی

از مسولین و پرسنل محترم مرکز تحقیقات مخابرات ایران و همچنین معاونت پژوهشی دانشگاه صنعتی امیرکبیر که تمهیلات لازم را در راستای انجام پروره در اختیار مجریان طرح قرار داده‌اند تشکر و قدردانی می‌شود.

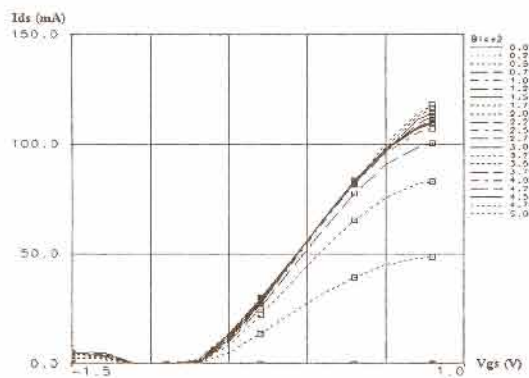
در شکلهای (۱۱) تا (۱۵) نحوه تغییرات منحنی سیکل بار دیده شده در خروجی تقویت کننده طراحی شده (تک طبقه) و نیز طیف خروجی با تغییر امپدانس بار و توان ورودی و با تغییر بایاس از کلاس A به B آورده شده است. مطابق شکل (۱۱) در حالتی که امپدانس بار مقاومتی و برابر ۴۷ اهم است، سیکل بار به خط-بار بهینه نزدیک می‌شود و در این حالت عملکرد تقویت کننده در بهترین حالت خود از لحاظ مشخصات دینامیکی قرار دارد. بهینه سازی تقویت کننده توان تک طبقه نیز برای رسیدن به این مشخصات صورت گرفته است. یعنی مدار طوری بهینه سازی شده است که حول مقاومت بار ۵۰ اهم بهترین مشخصات را داشته باشد که این مشخصات تقویت کننده تک طبقه در جدول شکل (۱۱) ارائه شده است. با افزایش مقاومت بار مطابق شکل (۱۲) و فاصله گرفتن آن از مقدار بهینه، سطح سیکل بار افزایش می‌یابد که در نتیجه آن مقدار بهره و راندمان شدیداً کاهش می‌یابد. برای بررسی بیشتر تقویت کننده در حالت بهینه با بار ۴۷ اهم، توان ورودی به ترتیب به ۱۵dBm و ۵dBm افزایش یافته است که نتایج مربوط به این حالات در شکلهای (۱۳) و (۱۴) ارائه گردیده است. با افزایش توان ورودی به ۵dBm به دلیل شرایط بهینه تقویت کننده در بار ۴۷ اهم مقدار بهره چندان کاهش نمی‌یابد و مقدار توان خروجی در حد مطلوبی است. به دلیل افزایش سطح سیکل بار در مقایسه با شکل (۱۱) مقدار توان مصرفی افزایش یافته است اما به دلیل بالا بودن بهره (که از افزایش سوینینگ جریان در منحنی سیکل بار پیداست) و افزایش اختلاف توان خروجی از توان ورودی مطابق

جدول ۱ مقایسه ساختارهای تقویت کننده توان با توان خروجی مشابه [۱۰]

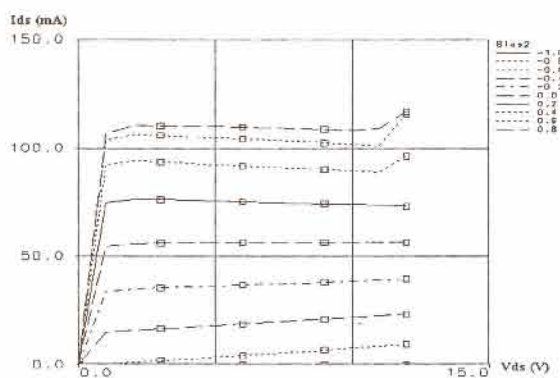
ساختار تقویت کننده توان	(۱)	(۲)	(۳)
بهره بالا	ضعیف	متوسط	خوب
سادگی مدارات تطبیق	ضعیف	خوب	خوب
سادگی مدار بایاس	خوب	متوسط	ضعیف
پهنای باند	کم	زیاد	زیاد
پانین بودن اثرات ناشی از کوپلینگ	خوب	متوسط	ضعیف
درجه اطمینان	ضعیف	متوسط	خوب



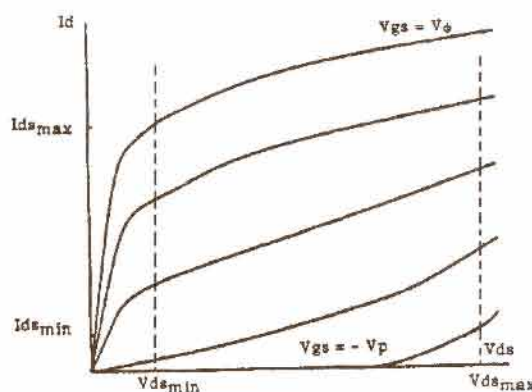
شکل ۱ مدل غیرخطی HEMT



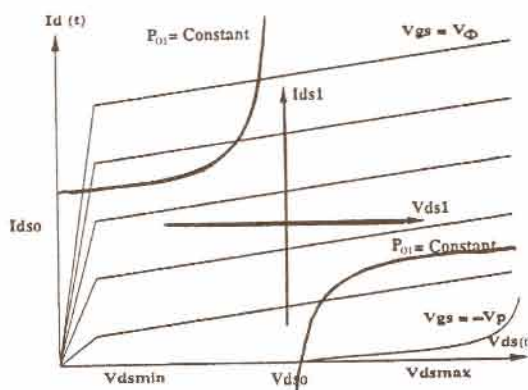
شکل ۲ نمودار $I_{ds} - V_{ds}$



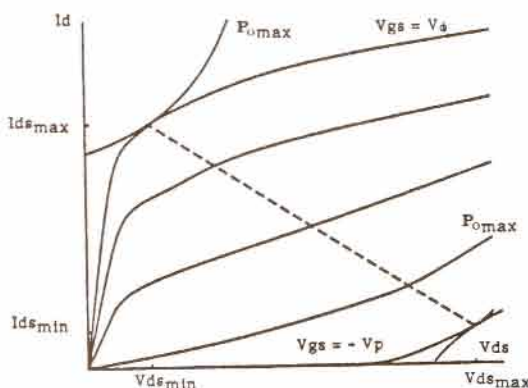
شکل ۳ نمودار $I_{ds} - V_{gs}$



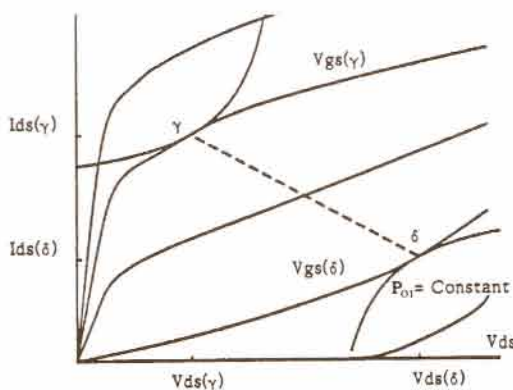
شکل ۴ مشخصات استاتیکی ترانزیستورهای خانواده FET به ازای ولتاژ فرمانهای مختلف



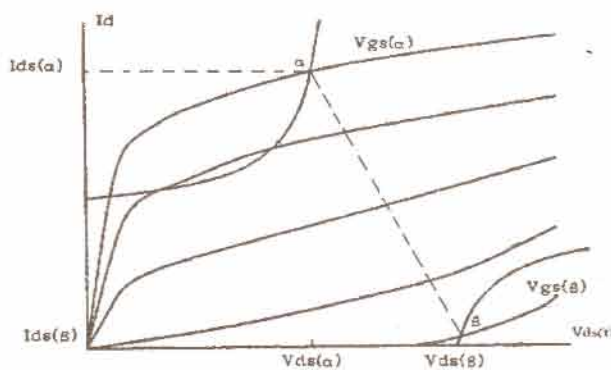
شکل ۵ مکان هندسی توان خروجی عنصر فعال به ازای یک مقدار ثابت هذلولی است که مرکز آن در نقطه بایاس عنصر فعال قرار دارد.



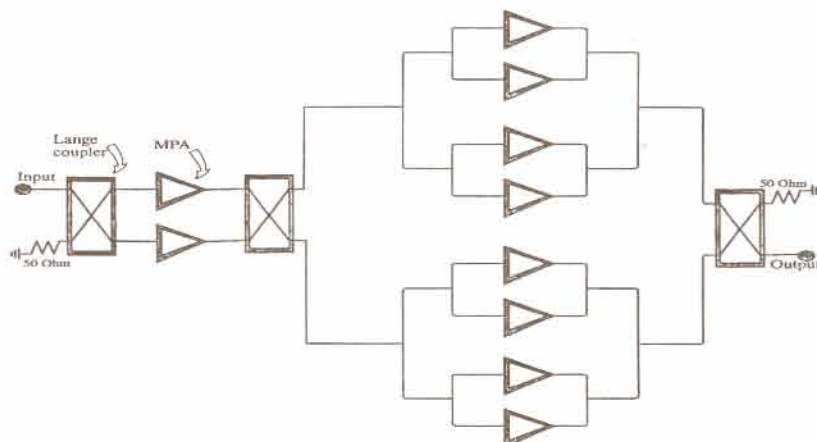
شکل ۶ هذلولی که در ولتاژ زابور بر مشخصه $V_{gs} = -V_p$ و در ولتاژ V_{dsmax} بر مشخصه $V_{gs} = V_\phi$ مماس است توان خروجی حداکثر را مشخص می‌کند. این هذلولی حداکثر فاصله را بین مشخصات I-V ایجاد می‌کند.



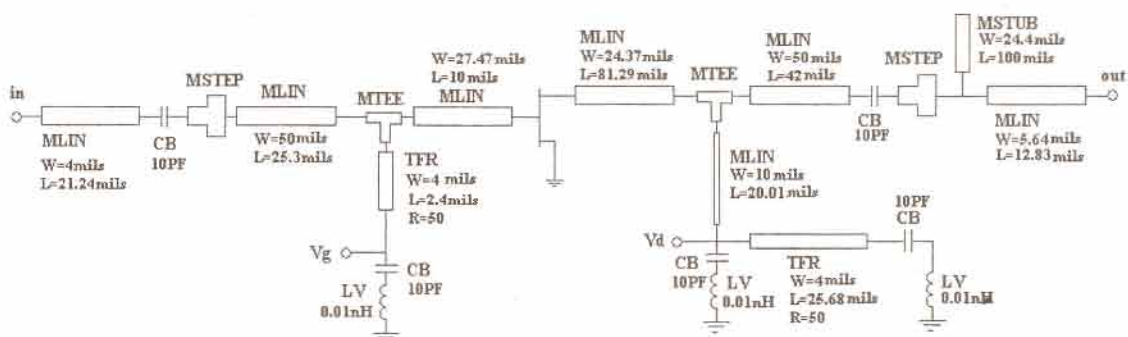
شکل ۷ حداکثر بهره با حداقل کردن تغییرات ولتاژ گیت - سورس یعنی $(\gamma) - (\delta)$ بدست می‌آید.



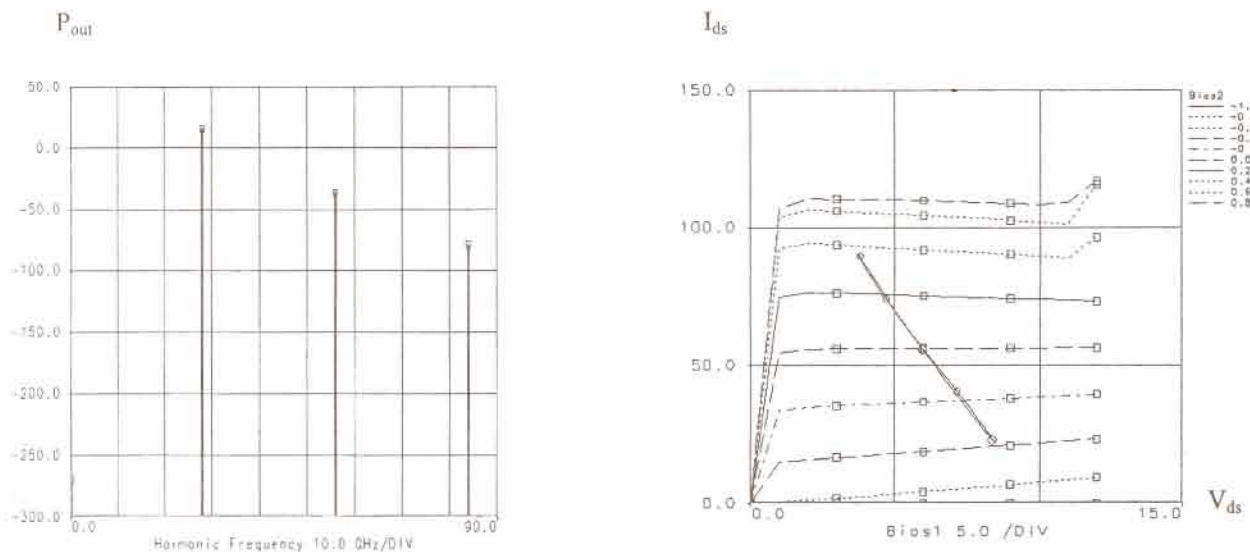
شکل ۸ حداقل انترمودولاسیون برای یک توان خروجی مشخص به وسیله هذلولیهایی که حداقل تغییر ولتاژ درین را مشخص می‌کنند، بدست می‌آید.



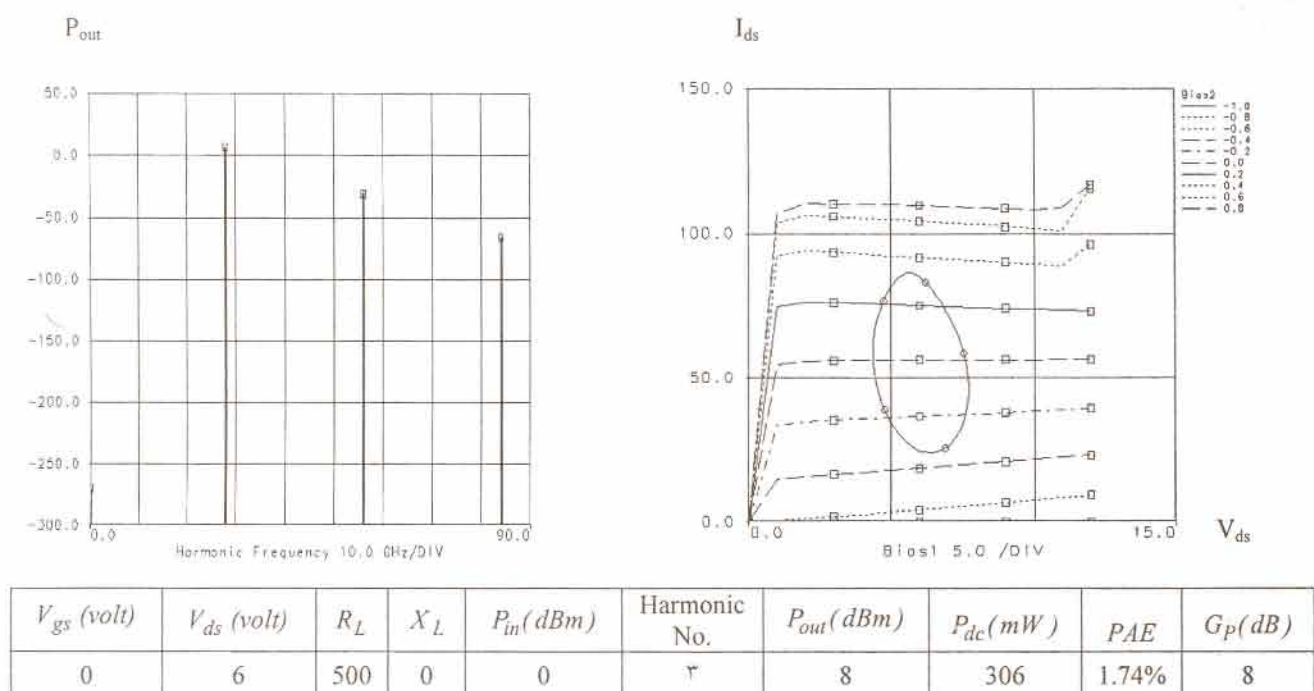
شکل ۹ ساختار ترکیبی تقویت‌کننده توان با توان خروجی ۳۵dBm



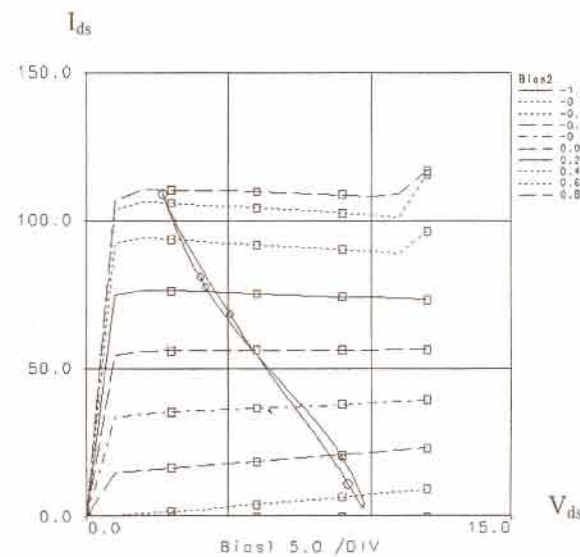
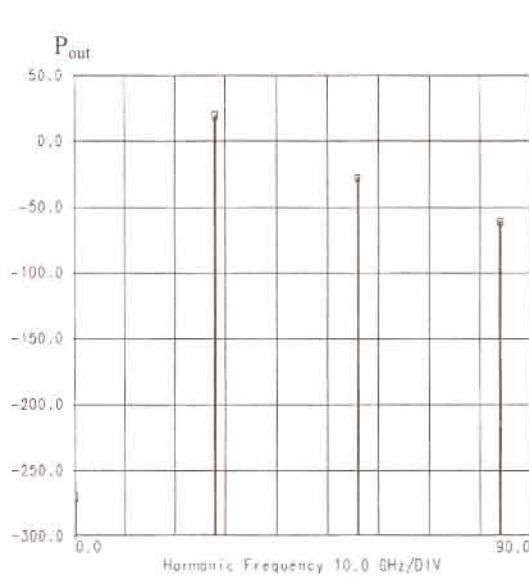
شکل ۱۰ طرح تقویت‌کننده توان تک طبقه



شکل ۱۱ منحنی سیکل بار و طیف خروجی تقویت کننده کلاس A برای بار ۴۷ اهم و توان ورودی 0dBm

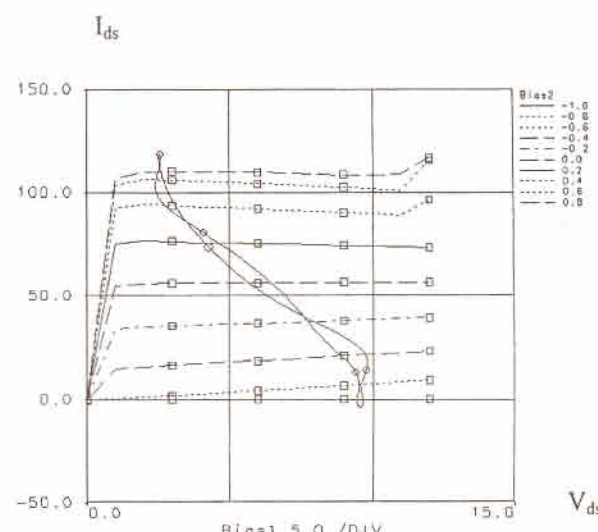
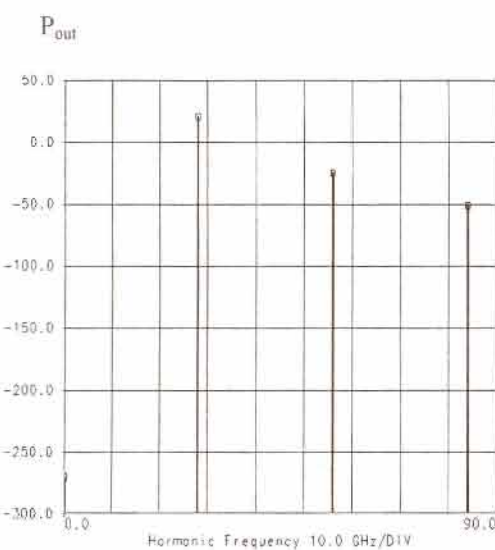


شکل ۱۲ منحنی سیکل بار و طیف خروجی تقویت کننده کلاس A برای بار ۵۰۰ اهم و توان ورودی 0dBm. با افزایش شبیه و سطح منحنی سیکل بار توان خروجی کاهش می‌یابد.



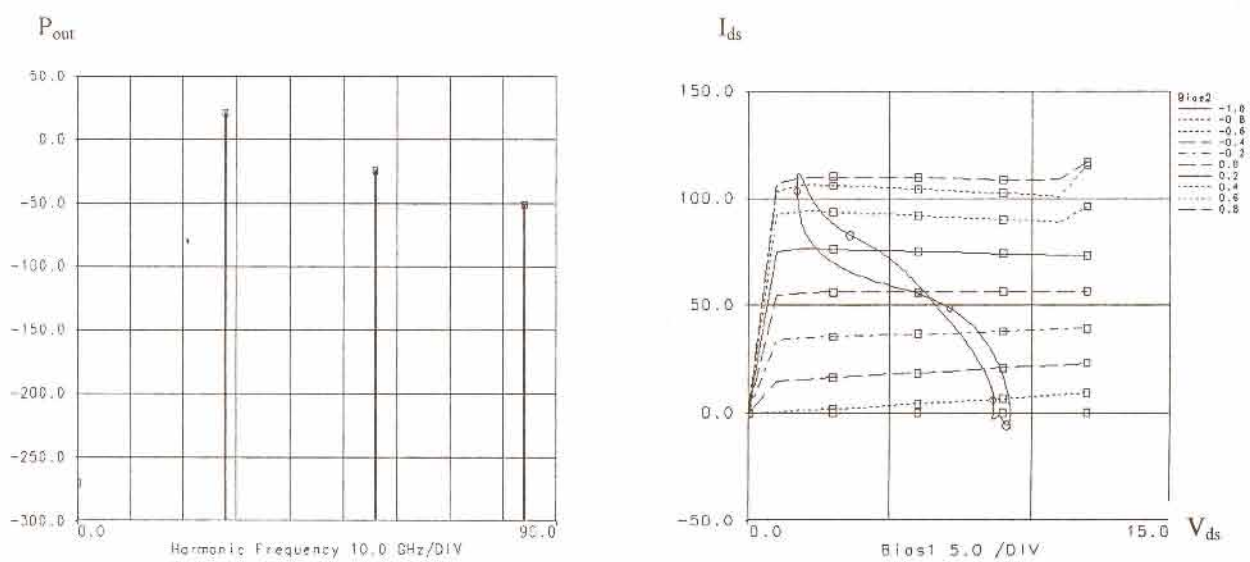
V_{gs} (volt)	V_{ds} (volt)	R_L	X_L	P_{in} (dBm)	Harmonic No.	P_{out} (dBm)	P_{dc} (mW)	PAE	G_P (dB)
0	6	47	0	5	3	21	336	36.53%	16

شکل ۱۳ منحنی سیکل بار و طیف خروجی تقویت کننده کلاس A برای بار ۴۷ اهم و توان ورودی ۵dBm از آنجا که بهینه‌سازی مدار برای بار ۴۷ اهم صورت گرفته است، عملکرد تقویت کننده در این حالت بهینه است.



V_{gs} (volt)	V_{ds} (volt)	R_L	X_L	P_{in} (dBm)	Harmonic No.	P_{out} (dBm)	P_{dc} (mW)	PAE	G_P (dB)
0	6	47	0	15	3	21	345	27.32%	6

شکل ۱۴ منحنی سیکل بار و طیف خروجی تقویت کننده کلاس A برای بار ۴۷ اهم و توان ورودی ۱۵dBm



شکل ۱۵ منحنی سیکل بار و طیف خروجی تقویت کننده کلاس B برای بار ۴۷ اهم و توان ورودی ۱۵dBm

۸- مراجع

- [1] Curtice W.R. , " A MESFET Model for use in design of GaAs ICs ,” IEEE Trans. Microwave Theory and Techniques , Vol. MTT-28 , 1980, pp.448.
- [2] Curtice W.R., and Ettenberg M. , “A Nonlinear GaAs FET Model for use in the Design of output circuits for power Amplifier,” IEEE Trans. Microwave Theory and Techniques, MTT-33, 1985, pp.1383.
- [3] Statz H. , Newman P. , Pucel R. , And Haus H. , “GaAs FET Device and Circuit Simulation in SPICE ”, IEEE Trans. Electron Devices, Vol. ED-34 , 1987 , pp. 160-169.
- [4] California Eastern Laboratories , “Nonlinear Model Data Items” ,<http://www.cel.com>, Circuit Network Items .
- [5] Tajima Y. , Wroma B. , and Mishima K. , “GaAs FET Large Signal Model and its Application to circuit Design ,” IEEE Trans. Electron Devices , Vol.28 , Feb.1981.
- [6] Curtice W., “GaAs MESFET modeling and Nonlinear CAD, “IEEE Transactions on Microwave Theory and Techniques”, MTT-36, No. 2, Feb. 1988, pp. 220-230.
- [7] Siddiqui et al, “A high power and high efficiency power amplifier for Local Multipoint Distribution Service, “IEEE MTT-S Digest,1996, pp.701-704.
- [8] Siddiqui et al ,”A High-Power and High-Efficiency Monolithic Power amplifier at 28 GHZ for LMDS applications, “IEEE Trans. Microwave Theory and Techniques. MTT-46, No.12, Dec 1998, pp. 2226-2232.
- [9] Mass S.A., *Nonlinear Microwave Circuits*, Norwood , M. A: Artech House , 1988.
- [10] Duvanaud Claude, “Les Classes De Fonctionnement a Haut Rendement Pour L'amplification De Puissance Microonde, En Vue D'applications Spatiales Et De Radio Communications Mobiles, PhD Thesis, Universite De Limuges, 1993.
- [11] Gonzalez G. , *Microwave Transistor Amplifiers: Analysis and Design*, Prentice Hall, 2nd edition, 1997.